

Aspergillus nidulans 가 生産하는 Naringinase 에 관한 研究

(제 2 보) Naringinase 의 精製 및 物理化學的 性質

卞 裕 亮·文 順 玉·柳 洲 鉉

延世大學校 工科大學 食品工學科
(1978년 5월 8일 수리)

Studies on the Naringinase Produced by *Aspergillus nidulans*

(Part I) Purification and Characteristics of Naringinase

Yu Ryang Pyun·Soon Ok Moon and Ju Hyun Yu

Department of Food Engineering, College of Engineering, Yonsei University
(Received May 8, 1978)

Abstract

Naringinase extracted from the culture media of *Aspergillus nidulans* was purified, and the activity was proved to be stronger by 781 fold in the part of precipitation with ammonium sulfate, and column chromatography using DEAE-Sephadex A-25 and Sephadex G-100. Two fractions which had the same enzyme activity were isolated by the purification. Both fractions showed the highest enzymes activity under the reaction conditions of pH 5.0 and 40°C. Molecular weight of fraction I and fraction II were estimated as 78,000 and 26,000 respectively. This indicated that fraction I would be trimer of fraction II. The enzyme was inhibited by glucose and rhamnose, and the Km value was calculated to be $2.3 \times 10^{-6} \text{g/ml}$.

緒 論

여러 研究者들이 naringinase를 精製하기 爲하여 노력하여 왔다. 1963年 岡田등이 *Aspergillus niger* 의 naringinase를 DEAE-Cellulose, Duolite A-2 수지 및 DEAE-Sephadex 로 精製하였고^(1,2,3) 1973年 奇등은 같은 酵素를 starch gel electrophoresis, $(\text{NH}_4)_2 \text{SO}_4$ 分別침전, Sephadex G-200, DEAE-Cellulose 등으로 精製한 바 있다.⁽⁴⁾

前報⁽⁵⁾에서 著者들은 *Aspergillus nidulans*로부터 naringinase를 추출하여 그 生産條件을 檢討하였다.

本報에서는 이 粗酵素를 多量生産한 後 精製하

여 精製酵素의 일반 物理化學的 性質을 檢討한 結果에 對하여 보고한다.

實驗材料 및 方法

1. 粗酵素의 調製

前報에서 선별한 *Aspergillus nidulans*를 밀기울 배지에 接種하여 30°C에서 6日間 培養한 後 4 倍의 증류수로 추출하여 粗酵素液을 取하였다.

2. Naringinase의 活性測定法

Naringinase의 活性은 Davis法⁽⁶⁾의 中林 및 井上 등의 變法^(7,8)에 의하여 前報와 同一方法으로 測定하였다.

3. 蛋白質의 濃度測定法

Hitachi Model 101 Spectrophotometer 를 利用하여 280 nm 에서 吸光度를 測定하였다.

4. 酵素의 精製

증류수로 추출하여 얻은 粗酵素液을 硫酸沈澱, DEAE-Sephadex A-25 및 Sephadex G-100 column 을 使用하여 용출시켰으며 모든 酵素의 分割은 fraction collector (Toyo SF-160K) 를 利用하였다. 음이온 교환수지인 DEAE-Sephadex A-25 는 증류수로 침윤시킨 후 0.5N NaOH에 30分間 담그고 증류수로 中性이 될 때까지 씻어준 뒤 0.5N HCl에 30分間 담갔다가 증류수로 中性이 될 때까지 씻어 주었다. 위의 조작을 수차례 행한 뒤 使用하였고 溶出用 buffer는 0.2M acetate buffer (pH 5.2)와 0.5 M NaCl(0.5 M acetate buffer pH 5.2에 녹인) 를 siphon 으로 연결시키므로써 식염농도가 일정 비율로 增加하면서 溶出되도록 하였다. (9~14)

結果 및 考察

1. 酵素의 精製

酵素를 精製하기 위하여 밀기울 2 kg과 물 1.8 l 를 섞은 밀기울 배지에 菌을 接種한 後 30°C 에서 6日間 培養한 後 8 l의 증류수로 추출하여 7,255 ml의 粗酵素液을 調製하였다.

(1) 酵素의 沈澱

1) Ethanol 沈澱 : 粗酵素液을 ethanol 의 濃度를 달리하여 沈澱시켰을 때 Fig. 1 과 같은 結果를 얻었다. Ethanol 濃度가 60% 일 때 比活性은 가장 높았으며 한편 酵素의 수율은 70%일 때 가장 높았다. (Fig. 1)

2) 硫酸沈澱 : 粗酵素液을 硫酸의 濃度를 달리하여 沈澱시켰을 때 Fig. 2와 같은 結果를 얻었다. 硫酸濃度를 75% 飽和되게 添加하였을 때 가장 높은 比活性을 나타내었으며 酵素의 수율도 가장 좋았다.

Ethanol 沈澱과 硫酸沈澱을 比較하여 보면 수율은 ethanol 沈澱이 높으나 比活性은 硫酸沈澱이 높으므로 酵素를 硫酸 75% 飽和로 沈澱시켜 冷藏庫에 하룻밤 방치한 後 10,000 rpm(International Centrifuge, model HT Centrifuge)에서 10분간 원심분리하여 沈澱부분을 125 ml의 0.2 M acetate buffer (pH 5.2)에 溶解시킨 후 冷藏庫에서 凍結保

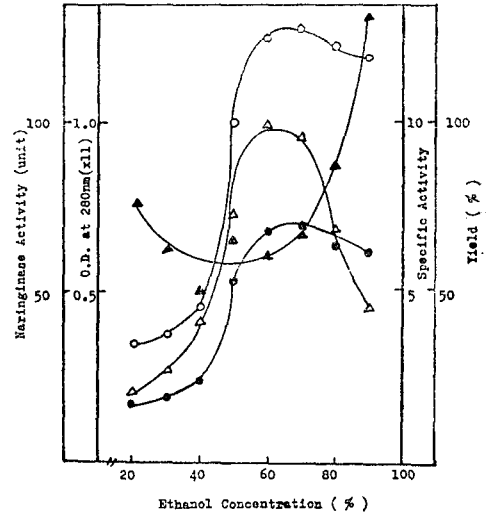


Fig. 1. Effect of Ethanol Concentration on Precipitation of Naringinase.

- : Enzyme activity
- ▲— : O. D. 280 nm
- : Yield of enzyme
- △— : Specific activity

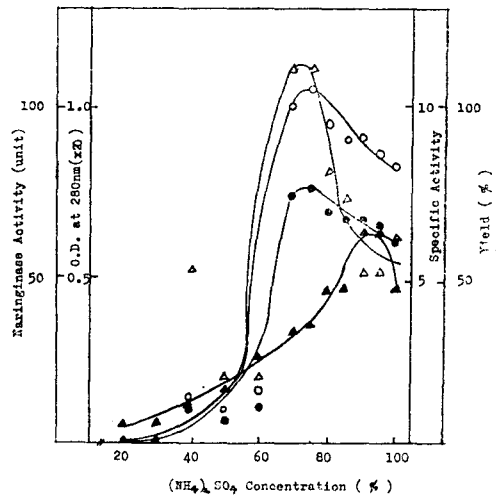


Fig. 2. Effect of Ammonium Sulfate Concentration on Precipitation of Naringinase.

- : Enzyme Activity
- ▲— : O. D. 280 nm.
- : Yield of enzyme
- △— : Specific activity

存하였다. (Fig. 2)

(2) Column chromatography

凍結保存한 酵素液을 冷藏庫에서 녹인 후 2 ml 를 취하여 미리 0.2 M acetate buffer (pH 5.2)로

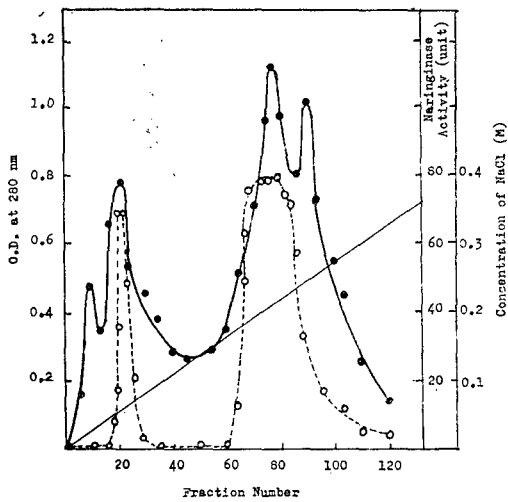


Fig. 3. Column Chromatogram of Naringinase on DEAE-Sephadex A-25 (2.4×30 cm)
 —●— : O. D. 280 nm
 -○- : Naringinase activity
 — : NaCl concentration, elution buffer, 0.2 M
 Acetate buffer (pH 5.2), eluted volume: 5 ml.

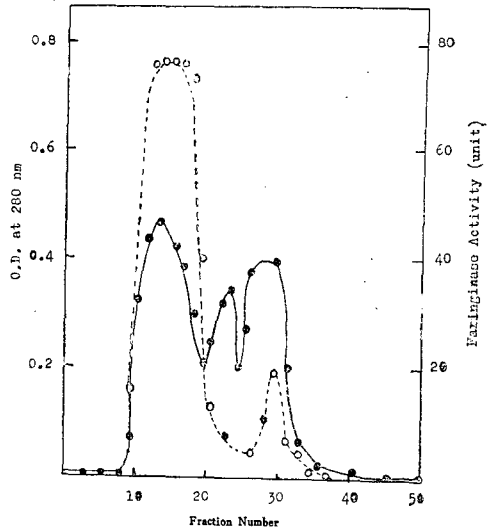


Fig. 4. Column Chromatogram of Naringinase on Sephadex G-100 (2.4×30 cm).
 —●— : O. D. 280 nm
 -○- : Naringinase activity
 Elution buffer: 0.2 M acetate buffer (pH 5.2)
 Eluted volume: 5 ml

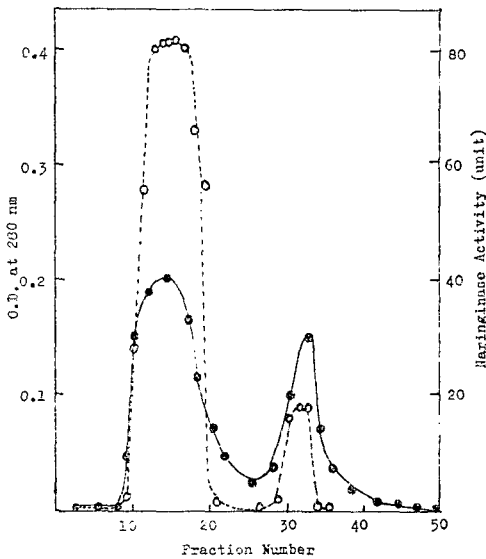


Fig. 5. Column Rechromatogram of Naringinase on Sephadex G-100 (2.4×30 cm).
 —●— : O. D. 280 nm
 -○- : Naringinase activity
 Elution buffer: 0.2 M acetate buffer (pH 5.2)
 Eluted volume: 5 ml

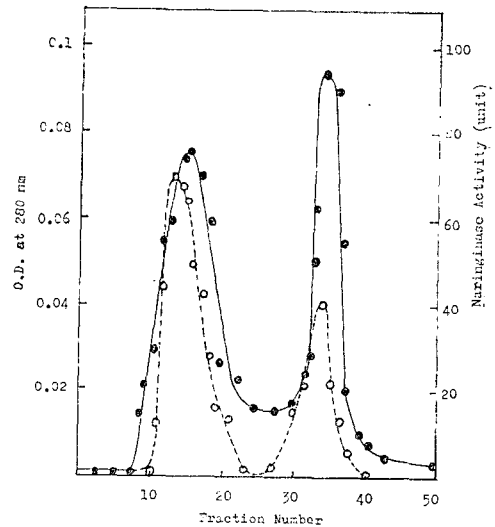


Fig. 6. Column Rechromatogram (3) of Naringinase on Sephadex G-100 (2.4×30 cm).
 —●— : O. D. 280 nm
 -○- : Naringinase activity
 Elution buffer: 0.2 M acetate buffer (pH 5.2),
 Eluted volume: 5 ml

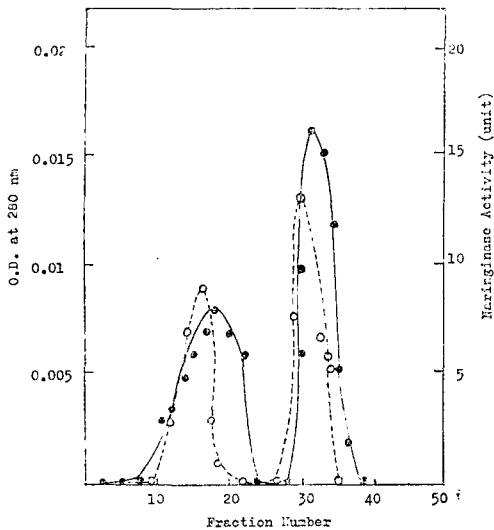


Fig. 7. Column Rechromatogram (4) of Naringinase on Sephadex G-100 (2.4×30 cm).
 —●—: O. D. 280 nm
 —○—: Naringinase activity
 Elution buffer: 0.2M acetate buffer (pH 5.2),
 Eluted volume: 5 ml

平衡化한 DEAE-Sephadex A-25 column (2.4×30 cm)에 흡착시켜 0.5 M NaCl를 사용하여 gradient chromatography를 하였다. 이 결과는 Fig. 3에서 보는 바와 같이 No. 19~24와 No. 65~86의 두 부분에 효소 활성이 나타났다. 이것은 추⁽¹⁵⁾ 등의 실험 결과에서 두 개의 효소가分離된 결과와類似하였다. 그러므로 이 효소중에 효소량이 많은 효소

의性質을 알기 위하여 No. 65~86部分 110 ml를 모아 위와 같은 방법으로 75% 硫酸沈澱시키고 원심분리하여 얻은沈澱物에 0.2M acetate buffer (pH 5.2) 2 ml를 가하여溶解시킨 후 위와 동일조건으로 Sephadex G-100 column (2.4×30 cm)으로 1次 chromatography를 하였다. 1次 chromatography의活性이 높은 No. 10~19 (Fig. 4)部分 50 ml를 2次 chromatography 하였으며, 2次 chromatography의 No. 10~19 (Fig. 5) 45 ml를 다시 3次 chromatography 하였다. 3次 chromatography의 No. 12~21部分 (Fig. 6) 40 ml의 효소液을 4次 chromatography 행한 결과 No. 11~17部分 28 ml의精製 효소液을 얻을 수 있었다. (Fig. 7)

以上の精製過程에서 보는 바와 같이活性이 높은 Fraction I 효소(앞의 부분)만을擇하여 4次 chromatography를 하였는데도 계속 두개의蛋白質 peak와活性 peak를 나타내었으며 chromatography를 反復할 수록 Fraction II 효소(뒷部分)가相對적으로增加하는傾向을 보였다. 精製는活性이 높은 Fraction I 효소를中心으로行하였다. 4次 chromatography 결과 처음 추출한粗 효소液에 비해比活性이 781倍增加한精製 효소를 얻을 수 있었고 이때 수율은 3.0%이었다. (Table 1)

2. 精製 효소의 物理化學的 性質

(1) 효소의反應에 미치는 pH와 溫度의 影響

앞의 정제과정에서分離된 두 부분의 효소性質을 비교 검토하기 위하여 두 효소의反應 最適 pH와反應 最適溫度를 조사하였다.

효소의反應最適 pH를 조사하기 위하여 pH

Table 1. Purification of Naringinase from *Aspergillus nidulans*.

Purification step	Total volume (ml)	Activity (unit)	O. D. (280 nm)	Specific activity	Yield (%)
1. Extraction	7255	526713	380162	1.4	
2. Ammonium sulfate precipitation	125	487500	48125	10.1	93
3. DEAE Sephadex A-25 column chromatography	110 (×62.5)	414906	4356	95.2	79
4. Gel filtration with Sephadex G-100 (1)	50 (×62.5)	240625	1266	190.1	49
5. Gel filtration with Sephadex G-100 (2)	45 (×62.5)	204188	577	353.9	38
6. Gel filtration with Sephadex G-100 (3)	40 (×62.5)	117500	147	799.0	22
7. Gel filtration with Sephadex G-100 (4)	28 (×62.5)	15500	14	1094.0	3

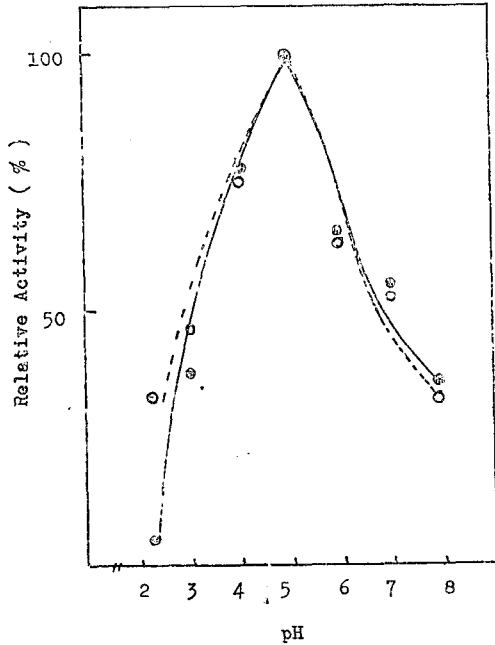


Fig. 8. Effect of pH on the Activity of Naringinase.
 —●—: Fraction I, —○—: Fraction II, at 40°C, for 1 hr. incubation.

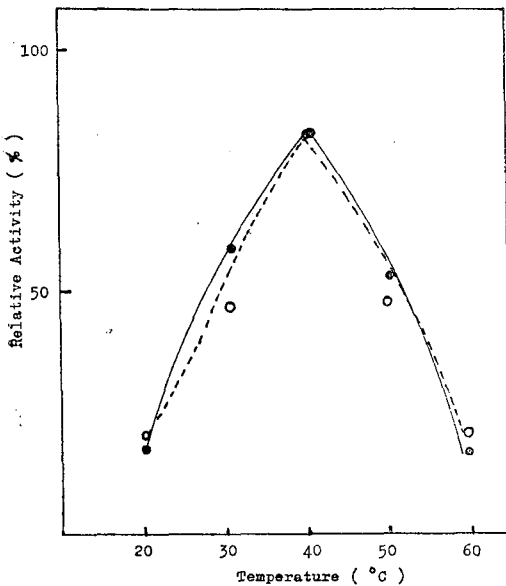


Fig. 9. Effect of Temperature on the Activity of Naringinase.
 —●—: Fraction I
 —○—: Fraction II
 at pH 4.0, for 1 hr. incubation.

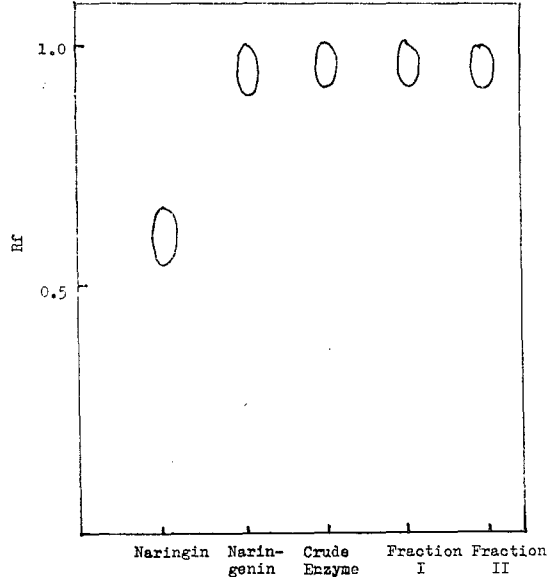


Fig. 10. Paper Chromatogram of Naringin Hydrolyzate by Naringinase.
 Solvent: *n*-butanol : acetic acid : water (4 : 1 : 5)
 Paper: Toyo filter No. 50
 Spray: Diazotized sulfanilic acid

2.2~8.0 사이를 McIlvaine buffer로 조절하여 40°C에서 한 시간 반응시킨 결과 Fig. 8에 나타난 바와 같이 Fraction I과 Fraction II의 각 효소의最適 pH는 pH 5.0으로 일치하고 있었고 pH에 따른 활성의 경향도 유사하였다. 이 결과는 Bram⁽¹⁶⁾과 岡田 등^(2,17,18,19)이 보고한 4~4.5 보다 약간 높은最適 pH이나 *Asp. tamarii*, *Ophiobolus miyabeanus*가 生産하는 naringinase와는 같은 결과이었다.⁽²⁰⁾

반응의 pH를 4.0으로 조절한 후 20°C~60°C 범위의 각 온도에서 1시간 반응시킨 결과 Fig. 9에 나타난 바와 같이 Fraction I과 Fraction II 효소는 40°C에서 最高活性를 나타내었으며 경향도 유사하였다. 이것은 Bram⁽¹⁶⁾과 岡田 등^(2,17,18,19)이 보고한 50°C 보다 낮은最適溫度이었다.

(2) 分解産物の 確認

3% naringin 3ml와 粗酵素液, Fraction I과 Fraction II 1ml를 40°C에서 時間 반응시킨 후 反應液, naringin과 naringenin 標準溶液을 동양여지 No. 50에 spot하여 실온에서 *n*-butanol : acetic acid : water (4 : 1 : 5)의 전개제로 전개후 diazotized sulfanilic acid로 발색시킨 결과⁽²¹⁾ Fig. 10과 같이 分解産物로 naringenin이 確認되었다. 또한

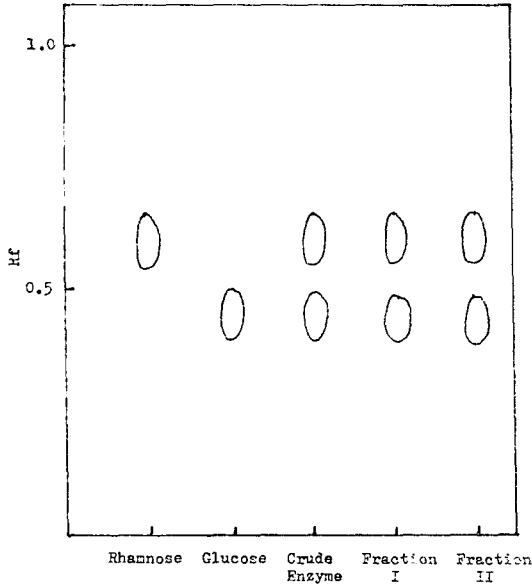


Fig. 11. Paper Chromatography of Naringin Hydrolyzates by Naringinase.
Solvent: isopropanol : water(160 : 40)
Paper: Toyo filter No. 50
Spray: Aniline diphenylamine phosphate

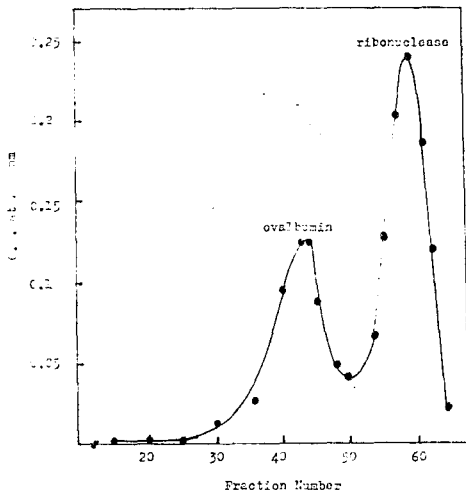


Fig. 12. Column Chromatogram of Ovalbumin and Ribonuclease on Sephadex G-100(2.4×50 cm)
Elution buffer: 0.05M Tris-HCl buffer, pH 7.5 (containing 0.1M KCl), eluted volume: 3 ml.

위의 反應液, glucose 와 rhamnose 標準溶液을 isopropanol : water (160 : 40)의 전개제로서 전개후 diphenylamine phosphate 로 발색시킨 결과 Fig. 11에서와 같이 分解産物로 rhamnose, glucose가 確認

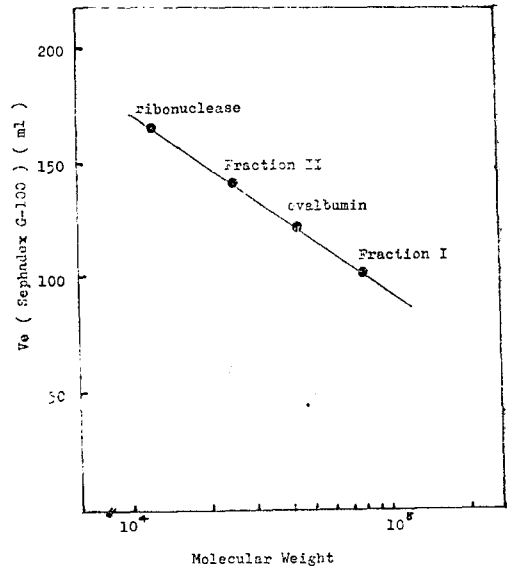


Fig. 13. Estimation of Molecular Weight by Gel filtration.

되었다. 이것으로 Fraction I 및 Fraction II는 naringin을 完全分解하는 酵素로 같은 性質을 가진 것으로 생각 되었다.

(3) 分子量의 測定

두 Fraction의 分子量을 비교하기 위하여 分子量을 測定하였다. 分子量의 測定은 Andrew의 gel filtration法에 따라 하였다.⁽²²⁾ 標準物質로는 ribonuclease(M. W. 13,700, Sigma)와 ovalbumin (M. W. 45,000, Sigma)을 사용하였다. 이 標準物質을 Sephadex G-100 column (2.4×50 cm)에 흡착시켜 0.05 M Tris-HCl buffer, pH 7.5(0.1M KCl 용액)로 용출(30 ml/hr)하여 fraction collector에서 3 ml씩 分離하였다. (Fig. 12) 이 結果 ovalbumin은 120 ml의 elution volume에서 peak를 나타내었고 ribonuclease는 165 ml의 elution volume에서 peak를 나타내었다. 각각의 elution volume 과 分子量을 semilog graph에 作成한 후 精製酵素를 용출하면 Fraction I은 100 ml의 elution volume에서 Fraction II는 140 ml의 elution volume에서 각각 peak를 나타내었다. 이 結果를 앞서 作成한 分子量 換算線에 나타낸 結果 Fraction I은 약 78,000, Fraction II는 약 26,000의 分子量을 가진 것으로 推定되었다. (Fig. 13)

이 結果에 나타난 바와 같이 Fraction I은 II에 비해 3배의 分子量을 가졌으며 이것으로 미루어 보아 이 酵素는 分子量 26,000의 단백질이 3개

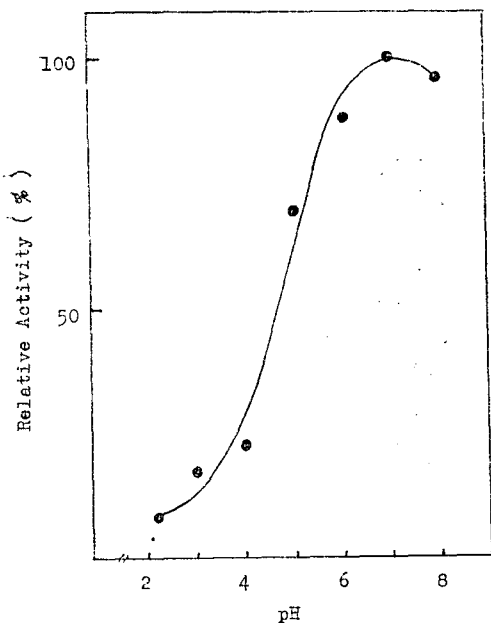


Fig. 14. Effect of pH on the Stability of Naringinase. The enzyme was treated at various pH (McIlvaine buffer) for 2 hrs. and the residual activity was measured after readjusting to pH 5.0.

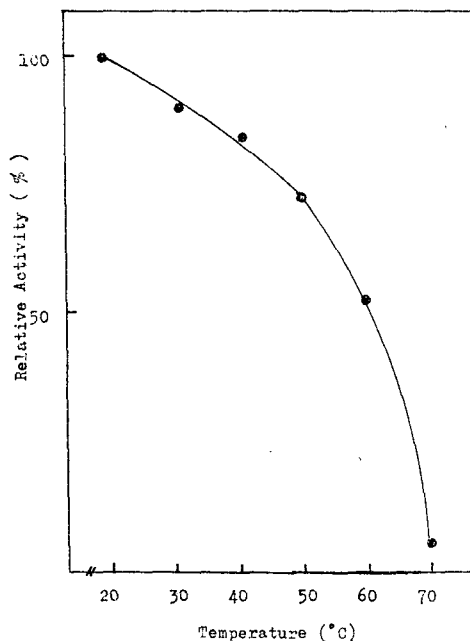


Fig. 15. The Effect of Temperature on the Stability of Naringinase. The enzyme suspended on 0.2 M acetate buffer (pH 5.2) was heated at various temperature for 15 minutes.

모여 이루어진 복합체로 되어 있으며 gel filtration을 행하는 동안 일부분의 Fraction II의 monomer로 분리되는 것으로推定할 수 있었으나 여기에 대해서는 더욱 자세한 연구가 필요하다고 생각된다. 또한分離되지 않은 상태의 Fraction I의 분자량은 78,000으로 숙등이 *Asp. niger* 生産 naringinase의 분자량을 100,000 이상으로推定한 것보다⁽²³⁾ 적은 값이었다.

이상의 연구結果 Fraction I과 II는 같은性質의 酵素로 생각되었기에 다음의 實驗은 酵素活性이 높은 Fraction I의 여러 物理學的의 性質을 檢討하였다.

(4) 酵素의 安定度에 미치는 pH와 溫度의 影響

酵素의 安定度에 미치는 pH의 影響을 보기 위하여 酵素液을 0.2M McIlvaine buffer를 사용하여 pH 2.2~8.0에서 각 pH로 調節하여 40°C에서 2時間 방치 후 그 殘存活性을 測定한 結果 Fig. 14에 나타난 바와 같이 pH 7.0에서 가장 높은 安定度를 나타내었다.

酵素液을 pH 5.2(0.2M acetate buffer)에서 20°C~70°C 범위로 각 溫度에서 15분간 가열한 후 그 殘存活性을 測定한 結果 Fig. 15에 나타난 바와 같이 50°C에서 70%, 60°C에서 50%의 酵素活性이 남았으며 70°C에서는 酵素가 거의 失活되었다.

(5) 酵素의 反應에 미치는 金屬이온의 影響

0.02% naringin 溶液(0.2M McIlvaine buffer, pH 5.0) 4 ml에 各種 金屬이온 10 mM을 0.5 ml씩 가하고 酵素液 0.5 ml를 가하여 最終濃度를 1 mM로 한 후 40°C에서 한 時間 反應시킨 結果 Fe²⁺에 의해 약간 活性이 減少될 뿐 다른 金屬 이온에 대해서는 별로 影響을 받지 않음이 나타났다.(Table 2)

(6) 酵素活性에 미치는 糖의 影響

糖에 의한 naringinase의 阻害作用에 대해서는 이미 알려져 있으므로^(24, 16, 19) 본 研究에서도 glucose와 rhamnose에 의한 阻害作用을 알아보기 위하여 각각의 濃度를 1%~4%로 하여 40°C에서

Table 2. Effect of Metal Ions on the Activity of Naringinase.

Metal ion	Relative activity (%)	Metal ion	Relative activity (%)
AlCl ₃	100	MnSO ₄	102
CaCl ₂	90	NiSO ₄	104
CoCl ₂	104	NaSO ₄	96
FeCl ₃	102	EDTA	100
PbCl ₂	104	CuSO ₄	96
MgCl ₂	90	FeSO ₄	87
KCl	100	ZnCl ₂	106
SnCl ₂	106	None	100

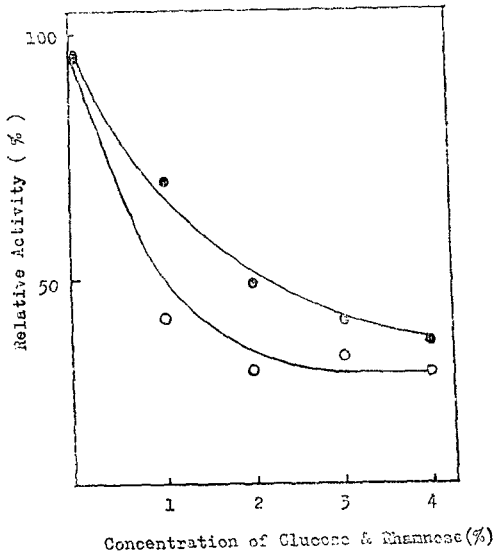


Fig. 16. Effect of Glucose and Rhamnose Concentration on the Activity of Naringinase.
 —●— : Glucose, —○— : Rhamnose

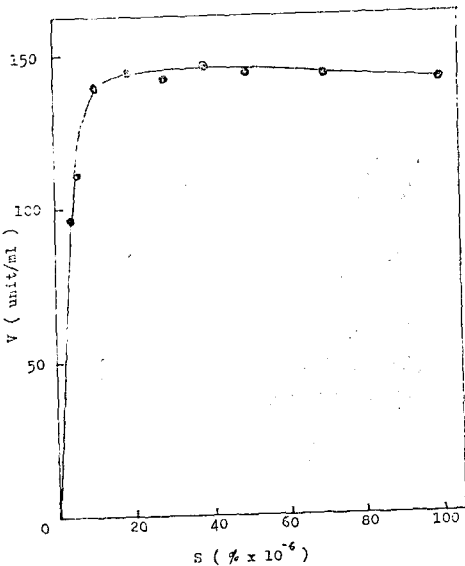


Fig. 17. Graphic Representation of Michaelis-Menten Equation.

한 시간 反應後 活性를 測定해 본 結果 Fig. 16 과 같은 結果를 얻었다. Naringinase는 glucose와 rhamnose에 의해 阻害를 받고 있었으며 rhamnose에 의한 阻害作用이 더 강한 것으로 나타났다. 또한 glucose에 의한 阻害는 Thomas 등의 實驗⁽²⁵⁾에서 보다 약간 낮은 것으로 나타났다. 岡田 등의 實驗

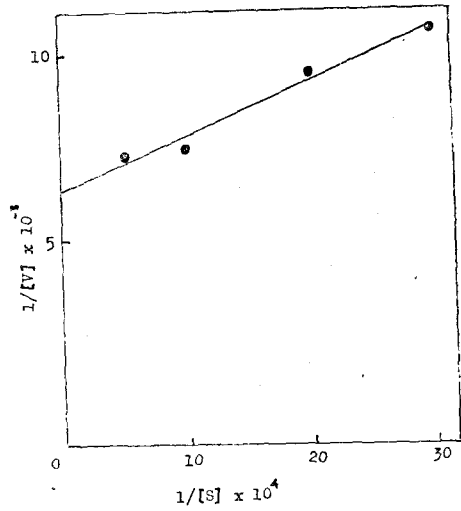


Fig. 18. Graphic Representation of Lineweaver-Burk Plot.

에 의하면 rhamnose는 naringin을 prunin으로 分解하는 酵素作用을 阻害하며 glucose는 prunin으로부터 naringenin으로 分解하는 酵素作用을 阻害하는 것으로 나타났다⁽¹⁹⁾. 이 結果에 따르면 본 酵素는 위의 두 反應에 參與하는 것임이 밝혀졌다.

(7) 酵素의 기질에 대한 親和性

기질濃度 $3 \times 10^{-6} \sim 10^{-4} \%$ 범위로 하여 酵素溶液(O. D. at 280 nm 0.07)을 反應시킨 結果 기질濃度 $10^{-5} \%$ 이상에서는 反應速度의 變化는 없었다. (Fig. 17). 이를 Lineweaver-Burk plot에 의해⁽²⁶⁾ graph를 作成하고 (Fig. 18) Km치를 求한 結果 $2.3 \times 10^{-6} \text{g/ml}$ ($3.96 \times 10^{-3} \text{mM}$)였다.

要 約

*Aspergillus nidulans*로부터 추출한 naringinase를 精製하여 物理化學의 性質을 검토하였다.

1) 酵素는 유안침전, DEAE-Sephadex A-25, Sephadex G-100 column chromatography를 사용하여 精製하였으며 精製結果 두 개의 fraction이 나타남을 發見하였고 Fraction I의 比活性은 粗酵素의 781배 증가함을 나타내었다.

2) 酵素의 反應 最適 pH와 溫度는 위의 두 fraction에서 같은 結果를 나타내었다. 最適 pH는 5.0이었으며 最適溫度는 40°C 이었다.

3) 粗酵素液, Fraction I 및 Fraction II의 分解產物은 paper chromatography를 통해 조사한 結

果 naringenin, glucose 및 rhamnose 임이 밝혀졌다.

4) Andrew 의 gel filtration 法에 의한 分子량을 測定한 結果 Fraction I 은 약 78,000, Fraction II 는 약 26,000으로 推定되었다.

5) 酵素의 安定성에 미치는 pH의 影響은 pH 5.2에서 15分間 처리로 60°C에서 50%가 失活되었으며 70°C에서는 거의 다 失活되었다.

6) 酵素反應에 미치는 金屬이온의 影響은 Fe^{2+} 가 약간의 活性을 阻害하였을 뿐 별로 影響이 없었다.

7) 酵素의 기질에 대한 親和性에서 Km 값이 $2.3 \times 10^{-6} g/ml$ 로 推定되었다.

參考文獻

- 1) Shintaro Kamiya, Sachiko Esaki and Misao Hama: *Agr. Biol. Chem.*, **31**, (2), 133 (1967).
- 2) 岡田茂孝, 岸清, 東原昌孝, 福本壽一郎: 日農化, **37** (2), 84 (1963).
- 3) 岡田茂孝, 岸清, 東原昌孝, 福本壽一郎: 日農化, **37** (3), 142 (1963).
- 4) B. V. Chandler and K. J. Nicol: *CSIRO Fd Res. Q.*, **35**, 69 (1975).
- 5) 柳洲鉉, 文順王, 梁隆, 卞裕亮: 산업미생물학회지, **6**, 59 (1978).
- 6) W. B. Davis: *Anal. Chem.*, **19**, 476 (1947).
- 7) 松原良, 土井信明, 河村洋治, 森下淑郎: 日本食品工業學會誌, **21** (8), 24 (1974).
- 8) 井上雅資, 岡田茂孝: 科工, **43**, 642 (1969).
- 9) Mitsuo Yagisawa, Koso Kato, Yojiro Koba and Seinosuke Veda: *J. Ferment. Technol.*, **50** (9), 372 (1972).
- 10) Kei Arima, Ju Hyun Yu, Shinjiro Iwasaki and Gakuzo Tamura: *Appl. Microbiol.*, **16** (11), 1727 (1968).
- 11) Shigetaka Ishii and Tamotsu Yoktsuka: *Agr. Biol. Chem.*, **39** (2), 8313 (1975).
- 12) Masayuki Sato and Akira Kaji: *Agr. Biol. Chem.*, **39**(4), 819 (1975).
- 13) R. M. C. Dawson and Daphne C. Elliott et al.: *Data for Biochem. Reserch*, 615 (1969).
- 14) Wilbert F. Steele and H. Y. Yang: *Food Technology*, March, p 121 (1960).
- 15) 기우경: 한국산업미생물학회지, **2** (2), 111 (1974).
- 16) B. Bram and G. L. Solomons: *Appl. Microbiol.* **13** (6), 842 (1965).
- 17) 岡田茂孝, 岸清, 東原昌孝, 福本壽一郎: 日農化, **37** (3), 146 (1963).
- 18) 岡田茂孝, 板谷公和, 福本壽一郎: 日農化, **38** (5), 242 (1964).
- 19) 岡田茂孝, 斗野眞弓, 福本壽一郎: 日農化, **38** (5), 246 (1964).
- 20) 瀧口洋: 日農化, **39** (5), 194 (1965).
- 21) *Hand Book of Chromatography*; Vol. I, CRC Press, p312 (1972).
- 22) P. Andrew: *Biochem. J.*, **91**, 222 (1964).
- 23) 기우경, 김중규, 김명찬, 한국식품과학회지, **5** (2), 78 (1973).
- 24) 기우경, 성낙계: 한국농화학회지, **13** (3), 237 (1970).
- 25) D. W. Thomas, C. V. Smythe and M. D. Labbee: *Food Research*, **23**, 591 (1959).
- 26) Lahdler and Buting: *The Chemical Kinetics of Enzyme Action*, p 68 (1973).